

مطالعه عکس العمل طیفی گندم‌های سالم و آسیب‌دیده به وسیله قارچ‌ها با استفاده از روش طیفسنجی

سامان ظهراei^۱, سید صادق سیلو^۲

۱-دانشجوی دکتری مکانیک ماشین‌های کشاورزی، دانشگاه تبریز

۲-استادیار گروه مکانیک ماشین‌های کشاورزی، دانشگاه تبریز

Corresponding author: zohrabi.saman@tabrizu.ac.ir

چکیده:

گندم یکی از محصولات کشاورزی مهم و استراتژیک در جهان و ایران می‌باشد و از ارزش اقتصادی و غذایی بالایی برخوردار است. با توجه به واردات گندم به ویژه در موضع خشک‌سالی و نیز نقل و انتقال گندم در داخل کشور تعیین سالم بودن از نظر آلودگی به عوامل قارچی اهمیت زیادی دارد. هدف از این پژوهش تشخیص گندم‌های سالم از ناسالم است که توسط قارچ‌هایی مثل فوزاریوم، پنی‌سیلیوم و یا فراورده‌های قارچی مثل آفلاتوکسین و غیره مورد هجوم قرار گرفته‌اند. در این پژوهش از ابزار طیفسنجی در محدوده ۱۹۰-۴۱۰ نانومتر استفاده شد که با استفاده از روش آماری تجزیه به مؤلفه‌های اصلی، طول موج‌های ۳۱۰، ۳۳۰، ۴۰۰ و ۴۱۰ به عنوان بهترین طول موج، برای شناسایی و تشخیص گندم‌های سالم و ناسالم تشخیص داده شدند. با در نظر گرفتن شدت طول موج‌های مذکور به عنوان ورودی شبکه عصبی، نمونه‌ها با دقت ۹۷,۶ درصد به دسته‌های سالم و ناسالم دسته‌بندی شدند.

واژه‌های کلیدی: گندم، قارچ، ماوراءبنفس، شبکه عصبی، تجزیه به مؤلفه‌های اصلی، تشخیص

مقدمه

گندم از نظر تولید و سطح زیر کشت مهم‌ترین محصول کشاورزی ایران است و از نظر اقتصادی و تأمین غذای اصلی از اهمیت بسیاری برخوردار هست. طبق آخرین آمار سازمان خواروبار جهانی در سال ۲۰۱۰ در ایران بیش از ۱۵۰۲۸۸۰۰ تن گندم برداشت شده است (FAO, 2010). با این حال علیرغم بهره‌مندی از استعدادها و ظرفیت‌های بالقوه کشور، در بعضی سال‌ها حدود ۳۰ تا ۵۰ درصد از گندم مورد نیاز از طریق واردات تأمین می‌شود؛ بنابراین با توجه به میزان واردات گندم و تأثیر آن بر کیفیت محصولات تولیدی اهمیت تعیین کیفیت گندم واردشده و سالم بودن آن از نظر آلودگی به انواع قارچ‌ها و سوموم شیمیایی اهمیت دارد. پنی‌سیلیوم^۱، آسپرژیلوس^۲ و فوزاریوم قارچ‌های معروفی هستند که در دوره انبادراری رشد می‌کنند. بیش از ۳۰۰ نوع سوموم قارچی وجود دارد که از طریق این گونه‌ها تولید می‌شوند (Saito et al., 2009). این سوموم می‌تواند در انسان و یا حیوان باعث تخریب حاد کبد، سیروز کبد، القای تومور و تأثیرات تراویزیک شوند (Hedayati and Mohammadpour, 2005).

روش‌های مختلفی از قبیل مکانیکی، امواج اولتراسونیک و ماشین‌بینایی برای شناسایی قارچ‌ها مورد استفاده قرار گرفته است؛ اما این روش‌ها قادر نیستند دانه‌هایی را که در سطح کمتری مورد هجوم قرار گرفته‌اند شناسایی کنند. از طرف دیگر روش‌های کشت میکروبی، شمارش کل کپک‌ها، تهیه اسلامید کالچر که به صورت مرسوم برای شناسایی قارچ‌ها مورد استفاده قرار می‌گیرند نیاز به دوران نگهداری^۳ زیادی دارند و شناسایی و تعیین خصوصیات قارچ‌ها به صورت میکروسکوپی نیز یک کار زمان‌بر بوده و مناسب نیست (گیتی شرفی و همکاران، ۱۳۸۸) و روش‌های مدرن مهندسی که در تعیین کیفیت گندم مورد استفاده قرار گرفته‌اند می‌توان به تصویربرداری در محدوده مرئی که با استفاده از خصوصیات مورفو‌لوجیکی (شکل و اندازه)، مشخصه‌های رنگی و خصوصیات بازتابش دانه‌ها انجام شده (Majumdar and Jayas, 2000a, b, c, d)، تصویربرداری هایپراسپکترونیک، تصویربرداری اشعه X، تصویربرداری حرارتی و طیفسنجی مادون‌قرمز نزدیک (NIR) یا ماورای بنفش اشاره کرد (Chelladurai et al., 2010, Qin, 2010).

طیفسنجی‌ها در محدوده‌های طول‌موجی مaura بنفش، ناحیه مرئی و مادون‌قرمز قرار دارند که محدوده طول‌موجی محدوده مaura بنفش ۴۰۰-۱۹۰ نانومتر و مرئی ۷۵۰-۴۰۰ نانومتر و طیفسنجی مادون‌قرمز (IR) ۲۵۰۰۰-۷۵۰ نانومتر می‌باشد (Lin et al., 2009). از طیفسنجی برای اندازه‌گیری جذب، عبور و انعکاس مواد غذایی و مواد جامد، مایع و یا گاز در فرکانس‌های مختلف استفاده می‌شود. پرسون و همکاران (۲۰۰۱) با استفاده از طیفسنجی مادون‌قرمز نزدیک (NIR) مقدار طیف انعکاسی دانه‌های ذرت آلوده

۱. *Penicillium* spp (blue-green)
۲. *Aspergillus* spp (black-white-brown-blue-green-and yellow)
۳. Incubation

به آفلاتوکسین را مورد بررسی قراردادند و توانستند بیش از ۹۵ درصد دانه‌های ذرت که بیشتر از ۱۰۰ ppb و کمتر از ۱۰ ppb به آفلاتوکسین آلوده بشوند را شناسایی کنند. همچنین پیریس و همکارانش (۲۰۰۹) با استفاده از خصوصیات جذب مادون‌قرمز در غلظت‌های مختلف DON^۱ به خوبی توانستند گندم‌های سالم و آلوده به فوزاریوم را تشخیص دهنند. این آزمایش نشان داد که طیف‌سنجی مادون‌قرمز با طول موج در محدوده ۲۱۰۰-۱۰۰۰ نانومتر یک روش مناسب در تشخیص گندم‌های گندم‌های مبتلا شده به فوزاریوم با سطح ۶۰ ppm و یا بالاتر می‌باشد. ژانگ و همکاران (۲۰۰۷) نیز با عکس‌برداری هایپراسپکتروال در ۲۰ طول موج با فاصله مساوی در محدوده طول موج ۱۶۰۰-۱۰۰۰ نانومتر و با به کارگیری چهار روش آماری (میانگین، واریانس، چولگی و کشیدگی^۲) بر روی داده‌های تصویر هایپراسپکتروال در هر طول موج توانستند به ترتیب ۹۲/۹ و ۸۷/۲ و ۹۹/۳ درصد گندم‌های آسیب‌دیده با آسپرژیلوس نیگر، آسپرژیلوس گلوكوس، پنی‌سیلیوم و ۱۰۰ درصد گندم‌های سالم را تشخیص دهنند. در واقع یک روش خوب در شناسایی و دسته‌بندی گندم‌های سالم و ناسالم بود. شاهین و سیمونز (۲۰۱۰) نیز ۸۰۰ دانه گندم قرمز بهاری جنوب کانادا را در سه دسته سالم، نیمه آسیب‌دیده و آسیب‌دیده تقسیم‌بندی کرده و سپس گندم‌ها را با استفاده از سیستم تصویربرداری هایپراسپکتروال در محدوده طول موج مرئی و مادون‌قرمز (۴۰۰-۱۰۰۰ نانومتر) عکس‌برداری کرده و سپس تجزیه به مؤلفه‌های اصلی را بر روی اطلاعات تصاویر انجام داده تا مدل تحلیل آماری خطی برای پیش‌بینی دانه‌های آسیب‌دیده به فوزاریوم را گسترش دهنند. آن‌ها توانستند با استفاده از آن مدل آماری بیش از ۹۲ درصد گندم‌های آسیب‌دیده به فوزاریوم را در دو دسته سالم و ناسالم دسته‌بندی کنند.

بنابراین هدف اصلی طرح تحقیقاتی حاضر ارائه روش و سیستمی است که قادر باشد در زمان کمتر و به صورت هوشمند گندم‌های سالم و ناسالم مبتلا به انواع قارچ‌ها را در موقع ورود به کشور و نیز گندم‌های موجود در داخل کشور، از همیگر تشخیص دهد تا از نقل و انتقال گندم ناسالم در کشور جلوگیری به عمل آید.

مواد و روش‌ها

آماده سازی نمونه‌ها

از بین ارقام گندم کشت شده در منطقه آذربایجان، رقم الوند به عنوان رقم آبی و رقم سرداری به عنوان رقم دیم که بیشترین سطح زیر کشت را دارا هستند، انتخاب شدند. چون تهیه گندم‌های مورد حمله قرار گرفته با قارچ‌ها از مزرعه مشکل بود برای این

۱. Deoxynivalenol

۲. Kurtosis

منظور ابتدا دو گونه قارچی پنی‌سیلیوم اکسپانسوم^۱ و فوزاریوم گرامینتروم^۲ در آزمایشگاه قارچ‌شناسی تحت شرایط استریل زیر هود لامینار روی محیط کشت عمومی کشت شدند و بعد از رشد قارچ‌ها به مدت یک هفته در محیط کشت مورد نظر در داخل انکوباتور در دمای ۲۵ درجه، اقدام به مایه‌زنی آن‌ها روی بذور گندم‌های مورد نظر شد. روش کار به این صورت بود که ابتدا به منظور از بین بردن آلدگی سطحی مقدار ۲۰۰ گرم از دو رقم گندم مورد نظر با استفاده از محلول ۱ درصد سدیم هیبوکلریت به مدت ۲ دقیقه مجاورت گردیده و سپس با استفاده از آب مقطر استریل شده ۲ بار شستشو شده است. سپس از قارچ فوزاریوم و پنی‌سیلیوم کشت شده سوسپانسیون اسپور تهیه شده و به صورت جداگانه بر روی نمونه‌های گندم مایه‌زنی شده است. سپس نمونه‌ها به مدت ۱۰ روز در داخل یک انکوباتور در دمای ۳۰ درجه سانتی‌گراد نگهداری شده و بعد از مدت مورد نظر به منظور انجام آزمایش با استفاده از دستگاه طیف‌سنجی از نمونه‌ها آرد تهیه شده است؛ که در مجموع تعداد ۴۲ عدد نمونه آرد شده با استفاده از دستگاه طیف‌سنجی مورد بررسی قرار گرفته شد که شامل ۷ نمونه گندم سالم از دو رقم سرداری و الوند و ۷ نمونه گندم آلدۀ شده با قارچ فوزاریوم و ۷ نمونه آلدۀ شده با قارچ پنی‌سیلیوم در هر رقم بودند.

اندازه‌گیری طیف جذبی

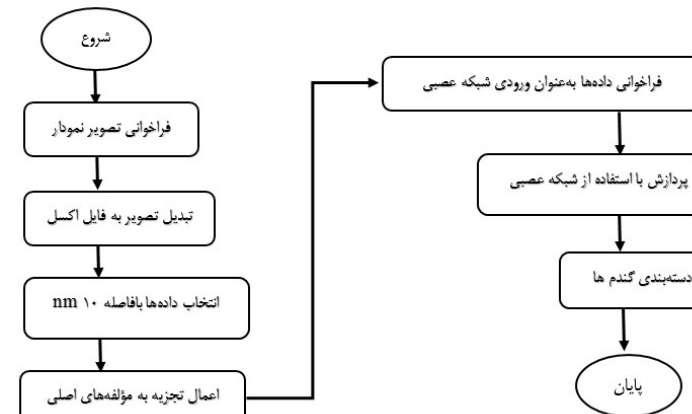
در این آزمایش از یک طیف‌سنج T70 UV/VIS spectrometer (PG instruments Ltd) در محدوده طول‌موج ۱۹۰-۱۱۰۰ نانومتر استفاده شده است. برای انجام آزمایش حدود ۵ تا ۱۵ میلی‌گرم آرد از هر نمونه با حدود ۴۰۰ میلی‌گرم برمور پتاسیم (KBr) خالص و خشک مخلوط شده و به صورت پودر نرم و یکنواخت در آورده شده است و سپس با فشار زیاد قرص‌های نازک و شفاف تهیه شده است. چون بروم پتاسیم جذب طیفی کمی داشته و امکان می‌دهد که از نمونه طیف کاملی به دست آید. برای کالیبره کردن دستگاه نیز در شروع هر مرحله، ابتدا قرص‌های بروم پتاسیم خالص تهیه شده و در دستگاه طیف‌سنجی قرار داده که در محدوده طول‌موج مورد مطالعه دستگاه درصد جذب صفر را نشان می‌دهد.

الگوریتم تعریف شده

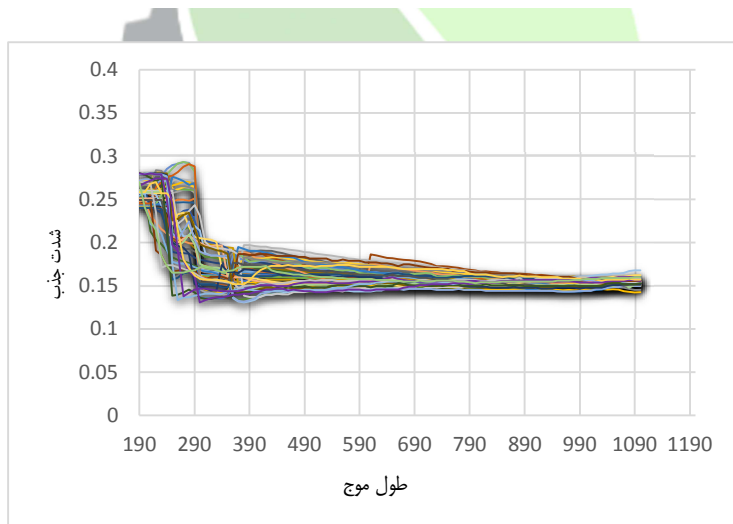
الگوریتمی که در شکل ۱ نشان داده شده است برای پردازش داده‌های مربوط به طیف‌سنجی می‌باشد. با توجه به این که دستگاه طیف‌سنجی، نمودارها را به صورت تصویر ارائه می‌کند ابتدا با استفاده از نرم افزار GetData Graph Digitizer نسخه ۲/۳ تصویر نمودار حاصل از آزمایش طیف‌سنجی فراخوانی شده و با تعیین محورهای مختصات و از طریق انتخاب نقاط مورد نظر روی نمودار،

- ۱. *Penicillium expansum*
- ۲. *Fusarium graminearum*

داده‌های نمودار به صورت اکسل به دست آورده شده است که محور افقی طول موج‌ها و محور عمودی مقدار جذب را نشان می‌دهد. در مرحله بعد مقادیر جذبی با فاصله ۱۰ نانومتر انتخاب شده و نمودارهای مربوطه حاصل شده است. در شکل ۲ نمودار جذبی مربوط به نمونه‌های گندم دیده می‌شود.



شکل ۱: فلوچارت کلی الگوریتم طراحی شده برای دسته‌بندی گندم



شکل ۲: نمودار جذبی

تجزیه به مؤلفه‌های اصلی

تجزیه به مؤلفه‌های اصلی یکی از انواع روش‌های تحلیل داده‌های چند متغیره است که هدف اصلی آن تقلیل بعد مسئله مورد مطالعه است. هدف اصلی از تجزیه به مؤلفه‌های اصلی در این تحقیق تعیین طول‌موج‌های که بیشترین تأثیر را در دسته‌بندی نمونه‌ها دارند می‌باشد. برای تجزیه به مؤلفه‌های اصلی از جعبه‌ابزار Data Redaction نرم افزار SPSS 16.00 استفاده شده است. با توجه به این که تفاوت نمودارها بیشتر در محدوده طول‌موجی ۱۹۰ تا ۵۰۰ نانومتر مشاهده می‌شود بنابراین شناسایی طول‌موج‌ها در این محدوده طول‌موجی انجام گرفت شده است؛ که به این منظور آزمون KMO and Bartlett در ابتدا بر روی داده‌ها اعمال شده که توانایی انجام تحلیل عاملی بر روی داده‌ها بررسی شود (جدول ۱).

جدول ۱: آزمون KMO

KMO و Bartlett's آزمون		
Kaiser-Meyer-Olkin Measure of Sampling Adequacy.		
Bartlett's Test of Sphericity	Approx. Chi-Square	.۶۷۶
	Df	۳۵۱
	Sig.	.۰۰۰۰

شبکه عصبی

در این تحقیق برای طبقه‌بندی ورودی‌ها با توجه به کلاس‌های هدف^۱ از شبکه‌های تشخیص الگو که شبکه‌های پیش‌خور هستند در جعبه‌ابزارهای Matlab نرم افزار Neural Network نسخه 7.12.0(2011a) استفاده شده است. شبکه‌های پیش‌خور می‌توانند مشکلات را به صورت غیرخطی حل کنند و از یک سری لایه‌هایی تشکیل شده‌اند که اولین لایه دارای یک اتصال از شبکه‌های ورودی می‌باشد. هر یک از لایه‌های بعدی دارای یک اتصال از لایه قبلی است. لایهنهایی نیز خروجی شبکه را تولید می‌کند. الگوی ورودی نیز ۴ مؤلفه دارد که از تجزیه به مؤلفه‌های اصلی به دست آمده است. برای لایه‌های پنهان نیز شماره‌های مختلف از نورون‌ها مورد آزمون قرار گرفته و تعداد مناسب انتخاب شده است و متوسط طبقه‌بندی در سه تکرار به دست آمده به عنوان درصد طبقه‌بندی گزارش شده است. ماتریس هدف یک ماتریس ۲ * ۴۲ تشکیل شده است و توابع آموزشی مختلف تست شده و

۱. Target Classes

مورد بررسی قرار گرفته شده و در نهایت الگوریتم لوبنرگ - مارکوارت^۱ برای آموزش انتخاب شده است و تابع سیگموئید^۲ نیز برای توابع انتقال لایه پنهان و خروجی استفاده شده است. عملکرد شبکه بر اساس متوسط مربع خطاهای (MSE) اندازه‌گیری شده و در طول آموزش، داده‌های ورودی و داده‌های هدف به طور تصادفی به ۳ دسته آموزش، آزمون و اعتبارسنجی مجموعه داده تقسیم شد که ۷۰ درصد داده‌ها برای آموزش ۱۵ درصد داده‌ها برای آزمون و ۱۵ درصد داده‌ها برای اعتبارسنجی در نظر گرفته شده است. فرایند آموزش سه بار تکرار شد تا دقیق ترین طبقه‌بندی به اندازه کافی بالا بروز. البته تکرار بیش از حد باعث آموزش بیش از حد شبکه می‌شود.

نتایج و بحث

با توجه به جدول ۱ عدد KMO برای این داده‌ها برابر ۰,۶۷۶ بوده که نشان می‌دهد داده‌ها در حد متوسط برای انجام تحلیل عاملی مناسب می‌باشد. همچنین نتایج آزمون کرویت بارلت هم در سطح احتمال ۱ درصد معنی‌دار می‌باشد و این یعنی بین متغیرها همبستگی معنی‌داری وجود دارد. جدول ۲ هم میزان اشتراک متغیرها یا واریانس کل یا میزان مشارکت عاملی متغیرها را نشان می‌دهد. اشتراک اولیه که نشان دهنده تمامی اشتراک‌های قبل از استخراج است؛ بنابراین تمامی آن‌ها برابر با ۱ هستند. همان‌طور که در جدول ۲ مشاهده می‌شود تمامی اشتراک‌ها بالای ۵۵,۹ درصد است و بیانگر توانایی عامل‌های تعیین شده در تبیین واریانس متغیرهای مورد مطالعه است. با وجود این در بین مقادیر اشتراک، تفاوت‌هایی نیز مشاهده می‌شود. برای مثال مقدار اشتراک مربوط به طول موج ۰,۳۶، ۰,۵۵۹ و برای طول موج ۰,۴۰۰، ۰,۹۸۹ است.

جدول ۳ هم مقدار ویژه و واریانس متناظر با عامل‌ها را نشان می‌دهد که مقدار ویژه اولیه برای هر یک از عامل‌ها در قالب مجموع واریانس تبیین شده براورد شده است. واریانس تبیین شده بر حسب درصدی از کل واریانس و درصد تجمعی است و مقدار ویژه هر عامل نیز نسبتی از واریانس کل متغیرهای است که توسط آن عامل تبیین می‌شود. مقدار ویژه از طریق مجموع مجددات بارهای عاملی مربوط به تمام متغیرها در آن عامل قابل محاسبه است، از این‌رو مقادیر ویژه، اهمیت اکتشافی عامل‌ها در ارتباط با متغیرها را نشان می‌دهد. پایین بودن این مقدار برای یک عامل به این معنی است که آن عامل نقش اندکی در تبیین واریانس متغیرها داشته است؛ که چهار مؤلفه اول مقدار ویژه بزرگ‌تر از عدد ۱ داشتند که در جدول ۳ هم مشاهده می‌شود که ۹۱,۵۷۸ درصد واریانس تجمعی را دارا می‌باشد.

۱. Levenberg-Marquardt

۲. Sigmoid

جدول ۲: میزان اشتراک اولیه و بعد از استخراج عامل‌ها برای متغیرهای واردشده در تحلیل عاملی

اشتراک متغیرها		
استخراج شده	اولیه	طول موج
۰,۸۰۷	۱,۰۰۰	V۱۹۰
۰,۸۶۳	۱,۰۰۰	V۲۰۰
۰,۸۷۰	۱,۰۰۰	V۲۱۰
۰,۹۳۲	۱,۰۰۰	V۲۲۰
۰,۸۳۲	۱,۰۰۰	V۲۳۰
۰,۸۷۷	۱,۰۰۰	V۲۴۰
۰,۸۹۳	۱,۰۰۰	V۲۵۰
۰,۹۶۳	۱,۰۰۰	V۲۶۰
۰,۹۴۶	۱,۰۰۰	V۲۷۰
۰,۹۴۴	۱,۰۰۰	V۲۸۰
۰,۹۴۱	۱,۰۰۰	V۲۹۰
۰,۹۶۷	۱,۰۰۰	V۳۰۰
۰,۹۸۰	۱,۰۰۰	V۳۱۰
۰,۹۷۰	۱,۰۰۰	V۳۲۰
۰,۹۸۸	۱,۰۰۰	V۳۳۰
۰,۹۳۶	۱,۰۰۰	V۳۴۰
۰,۹۰۰	۱,۰۰۰	V۳۵۰
۰,۵۵۹	۱,۰۰۰	V۳۶۰
۰,۷۶۴	۱,۰۰۰	V۳۷۰
۰,۹۶۵	۱,۰۰۰	V۳۸۰
۰,۹۷۳	۱,۰۰۰	V۳۹۰
۰,۹۸۹	۱,۰۰۰	V۴۰۰
۰,۹۸۷	۱,۰۰۰	V۴۱۰
۰,۹۶۵	۱,۰۰۰	V۴۲۰
۰,۹۸۰	۱,۰۰۰	V۴۳۰
۰,۹۷۳	۱,۰۰۰	V۴۴۰
۰,۹۶۲	۱,۰۰۰	V۴۵۰

جدول ۴ هم سهم متغیرها را نشان می‌دهد. اگر بارهای عاملی جلوی هر متغیر را به توان ۲ رسانده و باهم جمع کنیم، ارقام جدول ۲ ستون استخراج شده به دست می‌آید. این ضرایب از یک سو نشان‌دهنده توانایی عامل‌های تعیین شده در تبیین واریانس متغیرهای مورد مطالعه و از سویی می‌تواند برای بررسی تناسب متغیرها برای تحلیل عاملی استفاده شود.

جدول ۳: درصد واریانس و مقادیر ویژه عامل‌های مختلف

مؤلفه	مقدار ویژه اولیه		
	درصد تجمعی	درصد واریانس	کل
۱	۱۰,۴۳۸	۳۸,۶۶۱	۳۸,۶۶۱
۲	۶,۴۱۸	۲۳,۷۷	۶۲,۴۳۱
۳	۵,۰۳۵	۱۸,۶۴۷	۸۱,۰۷۸
۴	۲,۸۳۵	۱۰,۵	۹۱,۵۷۸
۵	۰,۶۶۰	۲,۴۴۳	۹۴,۰۲۱
۶	۰,۵۱۶	۱,۹۱	۹۵,۹۳۲
۷	۰,۳۳۰	۰,۸۵۱	۹۶,۷۸۳
۸	۰,۲۱۲	۰,۷۸۴	۹۷,۵۶۷
۹	۰,۱۷۴	۰,۶۴۳	۹۸,۰۲۱
۱۰	۰,۱۴۲	۰,۵۲۷	۹۸,۱۷۷
۱۱	۰,۸۴	۰,۳۱۲	۹۹,۰۴۸
۱۲	۰,۸۲	۰,۳۰۵	۹۹,۳۵۴
.	.	.	.
.	.	.	.
۲۶	۰,۰۰۰	۰,۰۰۱	۹۹,۹۹۹
۲۷	۰,۰۰۰	۰,۰۰۱	۱۰۰

بنابراین همان طور که در جدول ۴ مشاهده می‌شود برای عامل اول طول موج‌های ۳۸۰، ۳۹۰ و ۴۰۰ بیشترین تأثیر را دارا می‌باشد و برای عامل دوم طول موج‌های ۳۰۰، ۳۱۰، ۳۲۰ و ۳۳۰ و برای عامل سوم طول موج‌های ۲۳۰، ۲۴۰ و ۲۵۰ و ۲۶۰ و برای عامل چهارم طول موج‌های ۱۹۰، ۲۰۰، ۲۱۰ و ۲۲۰ بیشترین تأثیر را دارا هستند؛ بنابراین با در نظر گرفتن جدول ۱ و جدول ۴ می‌توان نتیجه گرفت که طول موج‌های ۳۱۰، ۳۲۰ و ۴۰۰ و ۴۱۰ تأثیرگذارترین طول موج‌ها هستند که برای دسته‌بندی نمونه‌ها در شبکه عصبی مورد استفاده قرار گرفته شده‌اند. در نهایت با ورود داده‌های مربوط به ۴ طول موج که از تجزیه به مؤلفه‌های اصلی به دست آمده به عنوان ورودی شبکه عصبی و آموزش شبکه عصبی به صورتی که توضیح داده شده بود، ۹۷۶ درصد نمونه‌ها با میانگین مربعات خطای ۱۸۵۵۱۰،۰ به صورت درست در دسته‌های سالم و ناسالم دسته‌بندی شده‌اند.

جدول ۴: ماتریس عاملی

ماتریس مؤلفه‌ها				
	مؤلفه‌ها			
طول موج	۱	۲	۳	۴
V۱۹-	-0,622	-0,077	-0,064	0,641
V۲۰-	-0,596	-0,025	0,10	0,711
V۲۱-	-0,574	0,092	0,321	0,655
V۲۲-	-0,448	0,281	0,553	0,588
V۲۳-	-0,299	0,341	0,614	-0,499
V۲۴-	-0,226	0,520	0,705	-0,222
V۲۵-	0,271	0,578	0,680	-0,153
V۲۶-	0,403	0,568	0,667	-0,182
V۲۷-	0,410	0,607	0,607	-0,204
V۲۸-	0,385	0,628	0,593	-0,021
V۲۹-	0,422	0,582	0,589	-0,277
V۳۰-	-0,056	0,847	-0,497	-0,015
V۳۱-	0,011	0,837	-0,527	0,-0.
V۳۲-	0,016	0,825	-0,536	0,-0.39
V۳۳-	0,009	0,824	-0,535	0,-0.57
V۳۴-	-0,003	0,794	-0,526	0,169
V۳۵-	0,001	0,775	-0,512	0,193
V۳۶-	0,620	0,222	-0,327	0,136
V۳۷-	0,885	0,-18	-0,167	0,-0.69
V۳۸-	0,951	-0,112	-0,-0.18	0,220
V۳۹-	0,949	-0,129	-0,-0.27	0,235
V۴۰-	0,952	-0,134	-0,-0.19	0,252
V۴۱-	0,952	-0,127	-0,-0.28	0,253
V۴۲-	0,951	-0,113	-0,-0.20	0,260
V۴۳-	0,944	-0,118	-0,-0.03	0,274
V۴۴-	0,939	-0,112	-0,-0.01	0,276
V۴۵-	0,938	-0,123	-0,-0.08	0,260

نتیجه‌گیری کلی

دقت تشخیص الگوریتم مربوط به دستگاه طیف‌سنجی ۹۷,۶ درصد بوده است درصد قابل قبول و بالایی به دست آمده است و همخوانی خوبی هم با دسته‌بندی دستی داشته است که نشان از انعطاف‌پذیری بالا در برآورده کردن انتظارات می‌باشد و در مقایسه با کارهای قبلی توسط سینگ و همکاران (۲۰۰۸) که توانسته بودند ۹۵,۵ درصد دانه‌های سالم را از دانه‌های آلوده به قارچ را تشخیص دهند دقت بالا و قابل قبولی بوده است. بنابراین دقت بالای تشخیص الگوریتم شبکه عصبی ارائه شده می‌تواند فرایند اتوماسیون در صنعت فراوری و تعیین کیفیت محصولات غلات را تسهیل و اقتصادی نماید.

فهرست منابع

شرفی، گ، وثوقی، س، آقا قلی زاده، ر، شهمیری، ع، نعمتی، س، شادر، ش، و صابونی، ز، و ۱۳۸۸. روش‌های انجام آزمایشات در آزمایشگاه‌های مرکز پژوهش‌های غلات و مراکز آزمایشگاهی شرکت‌های تابعه، گروه کنترل کیفی غلات.

Chelladurai V, Jayas D, White N. 2010. Thermal imaging for detecting fungal infection in stored wheat. Journal of Stored Products Research 46: 174-179.

Hedayati MT, Mohammadpour RA. 2005. The Contamination Rate of Stored Wheat Samples of Mazandaran Province by Aspergillus Flavous and Aflatoxin (2003). Journal of Kermanshah University of Medical Sciences 9.

Lin M, A Rasco B, G Cavinato A, Al-Holy M. 2009. Chapter 6 - Infrared (IR) Spectroscopy—Near-Infrared Spectroscopy and Mid-Infrared Spectroscopy. Pages 119-143 in Sun D-W, ed. Infrared Spectroscopy for Food Quality Analysis and Control. San Diego: Academic Press.

Majumdar S, Jayas D. 2000a. Classification of cereal grains using machine vision: I. Morphology models. Transactions of the ASAE 43: 1669-1675.

.—2000b. Classification of cereal grains using machine vision: IV. Combined morphology, color, and texture models. Transactions of the ASAE 43: 1689-1694.

.—2000c. Classification of cereal grains using machine vision: II. Color models. Transactions of the ASAE 43: 1677-1680.

.—2000d. Classification of cereal grains using machine vision: III. Texture models. Transactions of the ASAE 43: 1681-1687.

Qin J. 2010. CHAPTER 5 - Hyperspectral Imaging Instruments. Pages 129-172 in Sun D-W, ed. Hyperspectral Imaging for Food Quality Analysis and Control. San Diego: Academic Press.

Saito S, Ishibashi J, Miyamoto T, Tateishi Y, Ito T, Hara M, Kawano M, Nakajima T, Yoshida M, Kawamura T. 2009. Reduction of wheat DON and NIV concentrations with optical sorters. Transactions of the ASABE 52: 859-866.

Shahin MA, Symons SJ. 2011. Detection of *Fusarium* damaged kernels in Canada Western Red Spring wheat using visible/near-infrared hyperspectral imaging and principal component analysis. Computers and Electronics in Agriculture 75: 107-112.

Peiris KH, Pumphrey MO, Dowell FE. 2009. NIR absorbance characteristics of deoxynivalenol and of sound and *Fusarium*-damaged wheat kernels. Journal of Near Infrared Spectroscopy 17: 213.

Zhang H, Paliwal J, Jayas DS, White N. 2007. Classification of fungal infected wheat kernels using near-infrared reflectance hyperspectral imaging and support vector machine. Transactions of the ASABE 50: 1779-1785.

Investigation of spectral reaction of healthy and infected wheat by fungi using spectroscopy method

Saman Zohrabi¹, Seiied Sadegh Seiiedlou²

1. PhD Student, Dept. of Agriculture Machinery, Faculty of Agriculture, University of Tabriz,

2. Assistant professor of Agriculture Machinery, Faculty of Agriculture, University of Tabriz,

Corresponding author: zohrabi.saman@tabrizu.ac.ir

Abstract: Wheat is one of the strategically important crops in the world and Iran. It has a high economic and nutritive value. With regard to imports of wheat, especially in times of drought and as well as the transport of wheat in the country so determining of fungal infection of wheat is important. The purpose of this study is to identify healthy wheat from unhealthy wheat which infected by fungi such as Fusarium, Penicillium and fungi products such as aflatoxin and etc. In this study spectroscopy in the range 190-1100 nm was used. With applying the principal component analysis method, wavelengths of 310, 330, 400 and 410 were the best wavelength to identify healthy and unhealthy wheat. Considering the intensity of the wavelengths as the neural network inputs, samples classified with accuracy of 97.6 percent into healthy and unhealthy categories.

Keywords: Wheat, Fungi infection, Ultraviolet, Neural network, principal component analysis